

**LOGICKÉ INTEGROVANÉ OBVODY TTL
SCHOTTKY TTL
KATEGORIE B**

| | |
|-----------------|---------------------|
| MH74...S | MH74...S...S |
| MH84...S | MH84...S...S |
| MH54...S | MH54...S...S |

LOGICKÉ INTEGROVANÉ OBVODY TTL SSI, MSI, SCHOTTKY TTL SSI KATEGORIE B mají zaručovány stejné elektrické vlastnosti jako obvody základní řady MH74..., MH84... a MH54... Navíc se na ně vztahují tato ustanovení a záruky:

Integrované obvody kategorie B jsou vyráběny za zvláštní péče a s uplatněním primárních třídicích postupů ve sféře technologického procesu. Rozsah primárních třídicích postupů včetně mezioperacních kontrol je určován výrobcem a bliže se nespecifikuje.

Výrobce venuje trvalou péči zvyšování spolehlivosti, k čemuž využívá údajů získaných z praktického provozu součástek, zkoušení obvodů a výsledků rozborů zjištěných vad.

Součástky jsou kusově podrobeny sekundárnímu třídicímu postupu. Sekundární třídicí postup je účinný pouze ve spojení s parametry technologického procesu a sám o sobě nepostačuje k zabezpečení záruk spolehlivosti. Sekundární třídicí postup je specifikován postupy:

Teplotní stabilizace provádí se při teplotě $140^{\circ}\text{C} \pm 5^{\circ}\text{C}$ po dobu 24 h.

Teplotní cykly součástky se podrobují teplotním cyklům s mezními hodnotami -55°C do $+125^{\circ}\text{C}$ po dobu 15 min u obvodu SSI a 19 min u obvodu MSI v každé teplotě. Provádí se 10 cyklů. Doba přechodu nejvýše 20 s.

Elektrická funkce zkouška elektrické funkce se provádí při horní mezní teplotě součástky. Horní mezní teplotou se rozumí nejvyšší povolená pracovní teplota dané řady součástek (MH74, MH84, MH54).

Měření statických parametrů provádí se při normální teplotě ($25^{\circ}\text{C} \pm 5^{\circ}\text{C}$) předepsanými metodami měření.

ZNAČENÍ INTEGROVANÝCH OBVODŮ:

Integrované obvody, dodávané podle popsaných podmínek, jsou součástkami spolehlivostní kategorie B. Typový znak těchto integrovaných obvodů je doplněn písmenem S na konci typového znaku.

Podle uvedených podmínek se dodávají tyto integrované obvody kategorie B:

Integrované obvody TTL SSI

| | |
|----------------|----------------|
| MH7400S | MH8400S |
| MH7403S | MH8403S |
| MH7404S | MH8404S |
| MH7405S | MH8405S |
| MH7410S | MH8410S |
| MH7420S | MH8420S |
| MH7430S | MH8430S |
| MH7437S | MH8437S |
| MH7438S | MH8438S |
| MH7440S | MH8440S |
| MH7450S | MH8450S |
| MH7451S | MH8451S |
| MH7453S | MH8453S |
| MH7454S | MH8454S |
| MH7460S | MH8460S |
| MH7472S | MH8472S |
| MH7474S | MH8474S |

Integrované obvody TTL MSI

| | |
|-----------------|-----------------|
| MH7442S | MH8442S |
| MH7475S | MH8475S |
| MH7490S | MH8490S |
| MH7490AS | MH8490AS |
| MH7493S | MH8493S |
| MH7493AS | MH8493AS |
| MH7496S | MH8496S |
| MH74150S | MH84150S |
| MH74151S | MH84151S |
| MH74154S | MH84154S |
| MH74164S | MH84164S |
| MH74192S | MH84192S |
| MH74193S | MH84193S |

Měření dynamických parametrů provádí se při normální teplotě ($25^{\circ}\text{C} \pm 5^{\circ}\text{C}$) předepsanými metodami.

Elektrická stabilizace

součástky, které prošly uvedenými předchozími postupy se podrobují elektrické stabilizaci (zahřívání) v podmínkách předepsaného elektrického zatížení a při teplotě prostředí $+80^{\circ}\text{C}$; doba trvání stabilizačního postupu 5 dnů.

Měření statických parametrů při horní mezní teplotě

Zkouška elektrické funkce v dolní mezní teplotě

Měření statických parametrů při normální teplotě $+25^{\circ}\text{C} \pm 5^{\circ}\text{C}$

ZÁRUKY A REKLAMACE SPOLEHLIVOSTI:

Záruky:

Na integrované obvody kategorie B je poskytována záruka zkoušené spolehlivosti, definovaná:

Elektrický režim elektrické zatížení v mezích doporučených pracovních podmínek

Teplota prostředí $+80^{\circ}\text{C}$

Zaručovaná intenzita poruch $\lambda = 10^{-5}/\text{h}$

Konfidenční úroveň 60%

Kritéria poruch havarijní poruchy (ztráta logické funkce, zkrat, pferušení)

REKLAMACE:

Zaručovanou intenzitu poruch lze reklamovat pouze na základě výsledků zkoušky, kterou provede reklamující za předepsaných podmínek záruk.

SCHOTTKY TTL

| | |
|------------------|------------------|
| MH74S00S | MH74S03S |
| MH74S04S | MH74S10S |
| MH74S20S | MH74S37S |
| MH74S38S | MH74S40S |
| MH74S51S | MH74S64S |
| MH74S64S | MH74S74S |
| MH74S112S | MH74S112S |
| MH84S00S | MH84S03S |
| MH84S04S | MH84S10S |
| MH84S20S | MH84S37S |
| MH84S38S | MH84S40S |
| MH84S51S | MH84S51S |
| MH84S64S | MH84S74S |
| MH84S74S | MH84S112S |
| MH54S00S | MH54S03S |
| MH54S04S | MH54S10S |
| MH54S20S | MH54S37S |
| MH54S38S | MH54S40S |
| MH54S40S | MH54S51S |
| MH54S51S | MH54S64S |
| MH54S64S | MH54S74S |
| MH54S74S | MH54S112S |
| MH54S00S | MH54S03S |
| MH54S04S | MH54S10S |
| MH54S20S | MH54S37S |
| MH54S38S | MH54S40S |
| MH54S40S | MH54S51S |
| MH54S51S | MH54S64S |
| MH54S64S | MH54S74S |
| MH54S74S | MH54S112S |

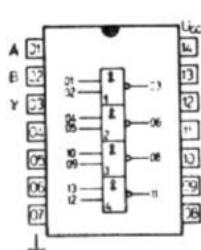
| Typ | Označení | | | Log. funkce | Pouzdro |
|----------|----------|---------|---|---------------------------------------|---------|
| MH74S00 | MH84S00 | MH54S00 | Čtveřice dvouvstupových pozitivních logických členů NAND | $Y = \overline{AB}$ | IO 13 |
| MH74S03 | MH84S03 | MH54S03 | Čtveřice dvouvstupových pozitivních logických členů NAND s otevřeným kolektorovým výstupem | $Y = \overline{AB}$ | IO 13 |
| MH74S04 | MH84S04 | MH54S04 | Šestice invertorů | $Y = \overline{A}$ | IO 13 |
| MH74S10 | MH84S10 | MH54S10 | Trojice třívstupových pozitivních logických členů NAND | $Y = \overline{ABC}$ | IO 13 |
| MH74S20 | MH84S20 | MH54S20 | Dvojice čtyřvstupových pozitivních logických členů NAND | $Y = \overline{ABCD}$ | IO 13 |
| MH74S37 | MH84S37 | MH54S37 | Čtveřice dvouvstupových pozitivních výkonových logických členů NAND | $Y = \overline{AB}$ | IO 13 |
| MH74S38 | MH84S38 | MH54S38 | Čtveřice dvouvstupových pozitivních výkonových logických členů NAND s otevřeným kolektorovým výstupem | $Y = \overline{AB}$ | IO 13 |
| MH74S40 | MH84S40 | MH54S40 | Dvojice čtyřvstupových pozitivních výkonových logických členů NAND | $Y = \overline{ABCD}$ | IO 13 |
| MH74S51 | MH84S51 | MH54S51 | Dvojice pozitivních logických členů AND-OR-INVERT | $Y = \overline{AB + CD}$ | IO 13 |
| MH74S64 | MH84S64 | MH54S64 | Pozitivní 4-2-3-2 vstupový logický člen AND-OR-INVERT | $Y = \overline{ABCD + EF + GHI + JK}$ | IO 13 |
| MH74S74 | MH84S74 | MH54S74 | Dvojitý bistabilní klopný obvod D | | IO 13 |
| MH74S112 | MH84S112 | | Dvojice synchronních klopných obvodů J-K, vybavených asynchronními vstupy NASTAVENÍ a NULOVÁNÍ | | IO 14 |

Pro zlepšení dynamických vlastností jsou u všech obvodů řady MH74S, MH84S, MH54S použity Schottkyho desaturační diody. Pro zvýšení spolehlivosti jsou vstupy opatřeny záhytnými diodami.

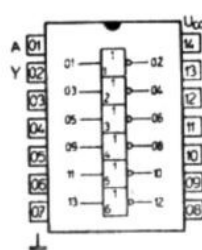
| ZÁKLADNÍ TECHNICKÉ ÚDAJE | RADA | MH74S | MH84S | MH54S | | |
|------------------------------|----------------|-------------|-------------|-------------|-------------|----|
| MEZNI HODNOTY | | | | | | |
| Napětí zdroje | U_{CC} | max. | +7 | +7 | +7 | V |
| Napětí vstupu min. - max. | U_I | min. - max. | -0,5...+5,5 | -0,5...+5,5 | -0,5...+5,5 | V |
| Výstupní napětí 1) | U_{OH} | max. | +7 | +7 | +7 | V |
| Výstupní proud 1) | I_{OL} | max. | +20 | +20 | +20 | mA |
| Meziemitorové napětí 2) | U_{EE} | max. | 5,5 | 5,5 | 5,5 | V |
| Rozsah pracovních teplot | θ_a | max. | 0...+70 | -25...+85 | -55...+125 | °C |
| Rozsah teplot při skladování | θ_{stg} | max. | -55...+155 | -55...+155 | -55...+155 | °C |

1) Platí pro MH..S03, ..S38

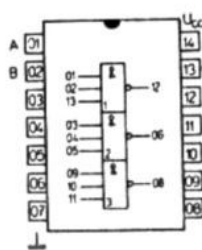
2) Napětí mezi emitory téhož vstupního tranzistoru (téhož logického členu).



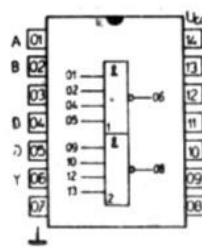
MH..S00, ..S03



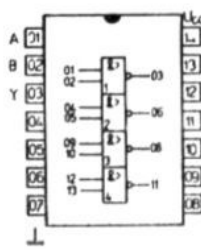
MH..S04



MH..S10



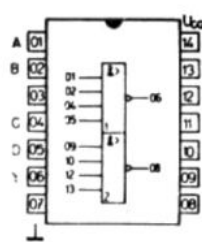
MH..S20



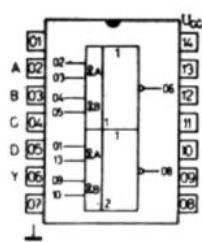
MH..S37, ..S38

DOPORUČENÉ PRACOVNÍ PODMINKY

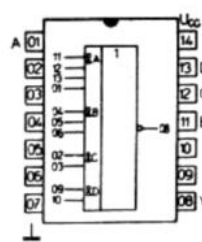
| Rada | | MH74S .. | MH84S .. | MH54S .. | |
|---|----------|---------------|---------------|-------------|----|
| Napájecí napětí | U_{CC} | 4,75 ... 5,25 | 4,75 ... 5,25 | 4,5 ... 5,5 | V |
| Vstupní záchranné napětí | | | | | |
| $U_{CC} = 4,75 \text{ V}, U_I = -18 \text{ mA}$ | $-U_D$ | < 1,2 | < 1,2 | < 1,2 | V |
| $U_{CC} = 4,5 \text{ V}, U_I = -18 \text{ mA}$ | $-U_D$ | — | — | < 1,2 | V |
| Ztrátový výkon hradel | | | | | |
| MH..S00, MH..S10 | P | 23 | | | mW |
| MH..S03 | P | 21,5 | | | mW |
| MH..S04 | P | 26 | | | mW |
| MH..S20 | P | 21 | | | mW |
| MH..S37, MH..S38 | P | 41 | | | mW |
| MH..S40 | P | 47 | | | mW |
| MH..S51 | P | 28 | | | mW |
| MH..S64 | P | 53 | | | mW |
| Ztrátový výkon klopného obvodu | | | | | |
| MH..S74 | P | 90 | | | mW |
| MH..S112 | P | 85 | | | mW |
| Logický zisk | | N_L | N_H | | |
| MH..S00, ..S10, ..S20 | | max. 10 | max. 20 | | |
| MH..S03 | | max. 15 | | | |
| MH..S40 | | max. 10 | max. 20 | | |
| MH..S74 | | max. 10 | max. 20 | | |
| STATICKÉ ÚDAJE: | | | | | |
| Vstupní napětí — úroveň H | | U_{IH} | > 2,0 | | V |
| Vstupní napětí — úroveň L | | U_{IL} | < 0,8 | | V |
| Výstupní napětí — úroveň H | | | | | |
| MH74S .., MH84S .. | | U_{OH} | > 2,7 | | V |
| MH54S .. | | U_{OH} | > 2,5 | | V |
| Výstupní napětí — úroveň L | | U_{OL} | < 0,5 | | V |
| Výstupní proud zkratový | | $-I_{OS}$ | 40 ... 100 | | mA |
| MH..S37, MH..S40 | | $-I_{OS}$ | 50 ... 225 | | mA |



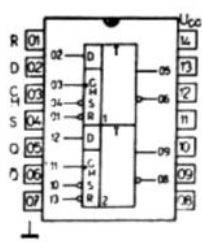
MH..S40



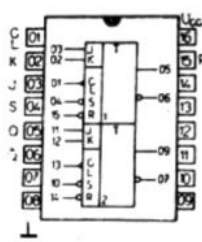
MH..S51



MH..S64



MH..S74



MH..S112

MH..S00 MH..S10 MH..S38
 MH..S03 MH..S20 MH..S40
 MH..S04 MH..S37 MH..S51

SCHOTTKYHO LOGICKÉ
 INTEGROVANÉ OBVODY TTL

CHARAKTERISTICKÉ ÚDAJE:

Vstupní napětí — úroveň H

$U_{CC} = 4,75 \text{ V}$; MH54S: $U_{CC} = 4,5 \text{ V}$

MH74S...: $\theta_a = 0^\circ\text{C}, +25^\circ\text{C}, +70^\circ\text{C}$
 MH84S...: $\theta_a = -25^\circ\text{C}, +25^\circ\text{C}, +85^\circ\text{C}$
 MH54S...: $\theta_a = -55^\circ\text{C}, +25^\circ\text{C}, +125^\circ\text{C}$

U_{IH} > 2,0 V

Vstupní napětí — úroveň L

$U_{CC} = 4,75 \text{ V}$; MH54S: $U_{CC} = 4,5 \text{ V}$

U_{IL} < 0,8 V

Výstupní napětí — úroveň H

$U_{CC} = 4,75 \text{ V}$; MH54S: $U_{CC} = 4,5 \text{ V}$; $U_{IL} = 0,8 \text{ V}$, $U_{IH} = 4,5 \text{ V}$
 $I_{OH} = -1 \text{ mA}$ (mimo MH..S03, ..S38)

MH54S:
 MH..S37
 MH54S37, ..S40

U_{OH} > 2,7 V
 U_{OH} > 2,5 V
 U_{OH} > 2,7 V
 U_{OH} > 2,5 V

Výstupní napětí — úroveň L

$U_{CC} = 4,75 \text{ V}$; MH54S: $U_{CC} = 4,5 \text{ V}$; $U_{IL} = 2 \text{ V}$
 $I_{OL} = 20 \text{ mA}$
 $I_{OL} = 60 \text{ mA}$

MH54S37, ..S38, ..S40

U_{OL} < 0,5 V
 U_{OL} < 0,5 V

Výstupní proud — úroveň H

$U_{CC} = 4,75 \text{ V}$; MH54S: $U_{CC} = 4,5 \text{ V}$; $U_{IL} = 0,8 \text{ V}$
 $U_{OH} = 5,5 \text{ V}$, $U_{IH} = 4,5 \text{ V}$ (jen MH..S03, ..S38)

I_{OH} < 250 μA

Vstupní proud — úroveň H
 každý vstup

$U_{CC} = 5,25 \text{ V}$; MH54S: $U_{CC} = 5,5 \text{ V}$; $U_{IH} = 5,5 \text{ V}$, $U_{IL} = 0 \text{ V}$
 $U_{CC} = 5,25 \text{ V}$; MH54S: $U_{CC} = 5,5 \text{ V}$; $U_{IH} = 2,7 \text{ V}$, $U_{IL} = 0 \text{ V}$
 $U_{CC} = 5,25 \text{ V}$; MH54S: $U_{CC} = 5,5 \text{ V}$; $U_{IH} = 2,7 \text{ V}$, $U_{IL} = 0 \text{ V}$
 MH54S37, ..S38, ..S40

I_{IH} < 1 μA
 I_{IH} < 50 μA
 I_{IH} < 100 μA

Výstupní proud — úroveň L

$U_{CC} = 5,25 \text{ V}$; MH54S: $U_{CC} = 5,5 \text{ V}$; $U_{IL} = 0,5 \text{ V}$, $U_{IH} = 4,5 \text{ V}$
 $U_{CC} = 5,25 \text{ V}$; MH54S: $U_{CC} = 5,5 \text{ V}$; $U_{IL} = 0,5 \text{ V}$, $U_{IH} = 4,5 \text{ V}$
 MH54S37, ..S38, ..S40

$-I_{IL}$ < 2 mA
 $-I_{IL}$ < 4 mA

Výstupní proud zkratový

$U_{CC} = 5,25 \text{ V}$; MH54S: $U_{CC} = 5,5 \text{ V}$, $U_{IL} = 0 \text{ V}$
 (mimo MH..S03, ..S38)
 MH54S37, ..S40

$-I_{OS}$ 40 ... 100 mA
 $-I_{OS}$ 50 ... 225 mA

Odběr ze zdroje — úroveň H

$U_{CC} = 5,25 \text{ V}$; MH54S: $U_{CC} = 5,5 \text{ V}$, $U_{IL} = 0 \text{ V}$

| | | |
|----------------|-----------|-----------|
| MH..S00 | I_{CCH} | < 16 mA |
| MH..S03 | I_{CCH} | < 13,2 mA |
| MH..S04 | I_{CCH} | < 24 mA |
| MH..S10 | I_{CCH} | < 12 mA |
| MH..S20 | I_{CCH} | < 8 mA |
| MH..S37, ..S38 | I_{CCH} | < 36 mA |
| MH..S40 | I_{CCH} | < 18 mA |
| MH..S51 | I_{CCH} | < 17,8 mA |

Odběr ze zdroje — úroveň L

$U_{CC} = 5,25 \text{ V}$; MH54S: $U_{CC} = 5,5 \text{ V}$, $U_I = 4,5 \text{ V}$

| | | |
|----------------|-----------|---------|
| MH..S00, ..S03 | I_{CCL} | < 36 mA |
| MH..S04 | I_{CCL} | < 54 mA |
| MH..S10 | I_{CCL} | < 27 mA |
| MH..S20 | I_{CCL} | < 18 mA |
| MH..S37, ..S38 | I_{CCL} | < 80 mA |
| MH..S40 | I_{CCL} | < 44 mA |
| MH..S51 | I_{CCL} | < 22 mA |

DYNAMICKE ÚDAJE:

$U_{CC} = 5 \text{ V}$, $\theta_a = 25^\circ\text{C}$, $C_L = 15 \text{ pF}$, $R_L = 280 \Omega$, $U_{IH} = 2,7 \text{ V}$

Doba zpoždění signálu

| | | |
|--------------------------|-----------|--------------|
| MH..S00, S04, S10, ..S20 | t_{PLH} | 2 ... 4,5 ns |
| MH..S00, S04, S10, ..S20 | t_{PHL} | 2 ... 5,0 ns |
| MH..S03 | t_{PLH} | 2 ... 7,5 ns |
| MH..S03 | t_{PHL} | 2 ... 7,0 ns |

$U_{CC} = 5 \text{ V}$, $\theta_a = 25^\circ\text{C}$, $C_L = 50 \text{ pF}$, $R_L = 93 \Omega$, $U_{IH} = 2,7 \text{ V}$

| | | |
|---------|-----------|--------------|
| MH..S51 | t_{PLH} | 2 ... 5,5 ns |
| MH..S51 | t_{PHL} | 2 ... 5,5 ns |
| MH..S40 | t_{PLH} | 2 ... 6,5 ns |
| MH..S40 | t_{PHL} | 2 ... 6,5 ns |

$U_{CC} = 5 \text{ V}$, $\theta_a = 25^\circ\text{C}$, $C_L = 15 \text{ pF}$, $R_L = 93 \Omega$, $U_{IH} = 2,7 \text{ V}$

| | | |
|---------|-----------|----------|
| MH..S37 | t_{PLH} | < 6,5 ns |
| MH..S37 | t_{PHL} | < 6,5 ns |
| MH..S38 | t_{PLH} | < 10 ns |
| MH..S38 | t_{PHL} | < 10 ns |

CHARAKTERISTICKÉ ÚDAJE:

Vstupní napětí — úroveň H

 $U_{CC} = 4,75 \text{ V}$; MH54S: $U_{CC} = 4,5 \text{ V}$

Vstupní napětí — úroveň L

 $U_{CC} = 4,75 \text{ V}$; MH54S: $U_{CC} = 4,5 \text{ V}$

Výstupní napětí — úroveň H

 $U_{CC} = 4,75 \text{ V}$; MH54S: $U_{CC} = 4,5 \text{ V}$ $U_{IH} = 4,5 \text{ V}$, $U_{IL} = 0,8 \text{ V}$, $I_{OH} = -1 \text{ mA}$

Výstupní napětí — úroveň L

 $U_{CC} = 4,75 \text{ V}$; MH54S: $U_{CC} = 4,5 \text{ V}$ $U_{IH} = 2,0 \text{ V}$, $I_{OL} = 20 \text{ mA}$

Vstupní proud — úroveň H

 $U_{CC} = 5,25 \text{ V}$; MH54S: $U_{CC} = 5,5 \text{ V}$ $U_{IH} = 5,5 \text{ V}$, $U_{IL} = 0 \text{ V}$ $U_{III} = 2,7 \text{ V}$, $U_{IL} = 0 \text{ V}$

Vstupní proud — úroveň L

 $U_{CC} = 5,25 \text{ V}$; MH54S: $U_{CC} = 5,5 \text{ V}$ $U_{IH} = 4,5 \text{ V}$, $U_{IL} = 0,5 \text{ V}$

Výstupní proud zkratový

 $U_{CC} = 5,25 \text{ V}$; MH54S: $U_{CC} = 5,5 \text{ V}$ $U_{IL} = 0 \text{ V}$

Odběr ze zdroje — úroveň H

 $U_{CC} = 5,25 \text{ V}$; MH54S: $U_{CC} = 5,5 \text{ V}$ $U_{IL} = 0 \text{ V}$

Odběr ze zdroje — úroveň L

 $U_{CC} = 5,25 \text{ V}$; MH54S: $U_{CC} = 5,5 \text{ V}$ $U_{IH} = 4,5 \text{ V}$, $U_{IL} = 0 \text{ V}$

DYNAMICKÉ ÚDAJE:

 $U_{CC} = 5 \text{ V}$, $\vartheta_a = 25^\circ\text{C}$, $C_L = 15 \text{ pF}$, $R_L = 280 \Omega$

Doba zpoždění signálu při průchodu

na úroveň H

na úroveň L

MH74S64: $\vartheta_a = 0^\circ\text{C}, +25^\circ\text{C}, +70^\circ\text{C}$
 MH84S64: $\vartheta_a = -25^\circ\text{C}, +25^\circ\text{C}, +85^\circ\text{C}$
 MH54S64: $\vartheta_a = -55^\circ\text{C}, +25^\circ\text{C}, +125^\circ\text{C}$

 U_{IH} $> 2,0$ V U_{IL} $< 0,8$ V

| | | | |
|-----------------------|----------|---------|---|
| MH74S, MH84S MH54S | U_{OH} | $> 2,7$ | V |
| | U_{OH} | $> 2,5$ | V |

| | | | |
|-----------------------|----------|---------|---|
| MH74S, MH84S MH54S | U_{OL} | $< 0,5$ | V |
| | U_{OL} | $< 0,5$ | V |

| | | |
|-----------|--------|---------------|
| I_{III} | < 1 | mA |
| I_{III} | < 50 | μA |

 $-I_{IL}$ < 2 mA $-I_{OS}$ $40 \dots 100$ mA I_{CCH} $< 12,5$ mA I_{CCL} < 16 mA

| | | |
|-----------|---------------|----|
| t_{PLH} | $2 \dots 5,5$ | ns |
| t_{PHL} | $2 \dots 5,5$ | ns |

CHARAKTERISTICKÉ ÚDAJE:

| | | | |
|--|--|------------------------------------|--|
| Vstupní napětí — úroveň H U _{CC} = 4,75 V; MH54S: U _{CC} = 4,5 V | U_{IH} | > 2,0 | V |
| Vstupní napětí — úroveň L U _{CC} = 4,75 V; MH54S: U _{CC} = 4,5 V | U_{IL} | < 0,8 | V |
| Výstupní napětí — úroveň H U _{CC} = 4,75 V; MH54S: U _{CC} = 4,5 V; U _{IL} = 0,8 V I _{OH} = -1 mA, U _{IH} = 2 V | U_{OH} MH74S74, MH84S74 MH54S74 | > 2,7 > 2,5 | V V |
| Výstupní napětí — úroveň L U _{CC} = 4,75 V; MH54S: U _{CC} = 4,5 V; U _{IH} = 2 V I _{OL} = 20 mA, U _{IL} = 0,8 V | U_{OL} | < 0,5 | V |
| Vstupní proud pro max. vstupní napětí každý vstup U _{CC} = 5,25 V; MH54S: U _{CC} = 5,5 V; U _{IH} = 5,5 V, U _{IL} = 0 V, U _I = 4,5 V | I_{IH} | < 1 | mA |
| Vstupní proud — úroveň H U _{CC} = 5,25 V; MH54S: U _{CC} = 5,5 V; U _{IH} = 2,7 V, U _{IL} = 0 V, U _I = 4,5 V | I_{IH} vstup D vstup R vstup S vstup CH | < 50 < 150 < 100 < 100 | μA μA μA μA |
| Vstupní proud — úroveň L U _{CC} = 5,25 V; MH54S: U _{CC} = 5,5 V; U _{IL} = 0,5 V, U _{IH} = 4,5 V, U _I = 0 V vstup D vstup R vstup S vstup CH | -I _L -I _L -I _L -I _L | < 2 < 6 < 4 < 4 | mA mA mA mA |
| Výstupní proud zkratový U _{CC} = 5,25 V; MH54S: U _{CC} = 5,5 V; U _{IL} = 0 V, U _{IH} = 4,5 V | -I _{OS} | 40 . . . 100 | mA |
| Odběr ze zdroje U _{CC} = 5,25 V; MH54S: U _{CC} = 5,5 V; U _{IH} = 4,5 V, U _{IL} = 0 V | I _{CC} | < 50 | mA |
| DYNAMICKÉ ÚDAJE: U _{CC} = 5 V, θ_a = +25 °C, N = 10, C _L = 15 pF, R _L = 280 Ω | | | |
| Doba zpoždění signálu ze vstupu S nebo R na výstup Q nebo \bar{Q} ze vstupu S nebo R na výstup Q nebo \bar{Q} vstup CH na úrovni H vstup CH na úrovni L ze vstupu CH na výstup Q nebo \bar{Q} | t _{PLH} t _{PHL} t _{PLH} t _{PHL} t _{PLH} t _{PHL} | < 6 < 13,5 < 8 < 9 < 9 | ns ns ns ns ns |
| Max. opakovací kmitočet hodinových impulsů | f _{max} | > 75 | MHz |

FUNKČNÍ TABULKA

| S | VSTUPY | | | VÝSTUPY | |
|-------------------|--------|---|---|---------|-----------|
| R | CH | D | | Q | \bar{Q} |
| asynchronní režim | | | | | |
| L | H | X | X | H | L |
| H | L | X | X | L | H |
| L | L | X | X | H* | H* |
| synchronní režim | | | | | |
| H | H | ↑ | H | H | L |
| H | H | ↑ | L | L | H |

- H vysoká úroveň L nízká úroveň
 X může být úroveň H nebo L — pro funkci není rozhodující
 * tento stav trvá pouze v době, kdy oba asynchronní vstupy jsou na úrovni L
 ↑ přechod z úrovni L do úrovni H

CHARAKTERISTICKÉ ÚDAJE:

Vstupní napětí — úroveň H

$U_{CC} = 4,75 \text{ V}$

MH74S: $\theta_a = 0^\circ\text{C}, +25^\circ\text{C}, +70^\circ\text{C}$
 MH84S: $\theta_a = -25^\circ\text{C}, +25^\circ\text{C}, +85^\circ\text{C}$
 MH54S: $\theta_a = -55^\circ\text{C}, +25^\circ\text{C}, +125^\circ\text{C}$

$U_{IH} > 2,0 \text{ V}$

Vstupní napětí — úroveň L

$U_{CC} = 4,75 \text{ V}$

$U_{IL} < 0,8 \text{ V}$

V

Výstupní napětí — úroveň H

$U_{CC} = 4,75 \text{ V};$
 $U_{IH} = 2 \text{ V}, U_{IL} = 0,8 \text{ V}, I_{OH} = -1 \text{ mA}$

MH74S, MH84S

$U_{OH} > 2,7 \text{ V}$

V

Výstupní napětí — úroveň L

$U_{CC} = 4,75 \text{ V};$
 $U_{IH} = 2 \text{ V}, U_{IL} = 0,8 \text{ V}, I_{OL} = 20 \text{ mA}$

$U_{OL} < 0,5 \text{ V}$

V

Vstupní proud pro max. vstupní napětí

$U_{CC} = 5,25 \text{ V};$
 $U_{IH} = 5,5 \text{ V}, U_{IL} = 0 \text{ V}$

$I_{IH} < 1 \text{ mA}$

mA

Vstupní proud — úroveň H

$U_{CC} = 5,25 \text{ V};$
 $U_{IH} = 2,7 \text{ V}, U_{IL} = 0 \text{ V}, U_I = 4,5 \text{ V}$
 vstup J, K
 vstup CL
 vstup R
 vstup S

$I_{IH} < 50 \mu\text{A}$
 $I_{IH} < 100 \mu\text{A}$
 $I_{IH} < 100 \mu\text{A}$
 $I_{IH} < 100 \mu\text{A}$

Vstupní proud — úroveň L

$U_{CC} = 5,25 \text{ V};$
 $U_{IH} = 4,5 \text{ V}, U_{IL} = 0,5 \text{ V}$
 vstup J, K
 vstup CL
 vstup R
 vstup S

$-I_{IL} < 1,6 \text{ mA}$
 $-I_{IL} < 4 \text{ mA}$
 $-I_{IL} < 7 \text{ mA}$
 $-I_{IL} < 7 \text{ mA}$

Výstupní proud zkratový

$U_{CC} = 5,25 \text{ V};$
 $U_{IH} = 4,5 \text{ V}, U_{IL} = 0 \text{ V}$

$-I_{OS} 40 \dots 100 \text{ mA}$

mA

Odběr ze zdroje

$U_{CO} = 5,25 \text{ V};$
 $U_{IH} = 4,5 \text{ V}, U_{IL} = 0 \text{ V}$

$I_{CC} < 50 \text{ mA}$

mA

DYNAMICKE ÚDAJE:

$U_{CC} = 5 \text{ V}, \theta_a = +25^\circ\text{C}, C_L = 15 \text{ pF}, R_L = 280 \Omega$

Doba zpoždění průchodu signálu

ze vstupu S nebo R

$t_{PLH} 2 \dots 7 \text{ ns}$

na výstup Q nebo \bar{Q}

$t_{PHL} 2 \dots 7 \text{ ns}$

vstup na úrovni H

$t_{PHL} 2 \dots 7 \text{ ns}$

vstup na úrovni L

$t_{PLH} 2 \dots 7 \text{ ns}$

ze vstupu CL na výstup Q nebo \bar{Q}

$t_{PHL} 2 \dots 7 \text{ ns}$

Max. opakovací kmitočet hodinových impulsů

$f_{max} > 80 \text{ MHz}$

FUNKČNÍ TABULKA • SYNCHRONNÍ REZIM

| VSTUPY ¹⁾ | | | | VÝSTUPY ²⁾ | |
|----------------------|---|---|---|-----------------------|-----------|
| S | R | J | K | Q | \bar{Q} |
| H | H | L | L | S | \bar{S} |
| H | H | H | L | H | L |
| H | H | L | H | L | H |
| H | H | H | H | \bar{S} | S |

¹⁾ Stav na vstupech před přichodem záporného napěťového skoku na vstupu CL²⁾ Stav na výstupech po skončení záporného napěťového skoku na vstupu CL

S stav výstupu Q po skončení předchozího záporného napěťového skoku na vstupu CL

ASYNCHRONNÍ REZIM

| VSTUPY | | | | | | VÝSTUPY | |
|--------|---|---|---|----|----|---------|-----------|
| S | R | J | K | CL | CL | Q | \bar{Q} |
| L | H | X | X | X | X | H | L |
| H | L | X | X | X | X | L | H |
| L | L | X | X | X | X | H* | H* |

H vysoká úroveň L nízká úroveň

X může být H nebo L

S stav výstupu Q po skončení předchozího záporného skoku na vstupu CL

* tento stav trvá pouze v době, kdy oba asynchronní vstupy jsou ve stavu L